

## 1. はじめに

Rowe<sup>①</sup>, Barter et al.<sup>②③</sup> は、三軸圧縮、平面ひずみ条件下のストレス-ダイラタンシー式(以下、S-D式と略す)として、次式を提案した。

$$R = D \cdot K, \quad R = \frac{\sigma}{\sigma_0}, \quad D = 1 - \frac{dE_f}{dE_i}, \quad K = \tan^2(45^\circ + \phi/2) \quad \dots \dots (1)$$

一方、平面ひずみ条件下のストレスーダイラタンシープロット(以下、S-Dプロットと略す)は、一般に三軸圧縮条件下的それより上側に来ることが、実験的に判明している(例えば②)。Rowe<sup>①</sup>, Barden et al.<sup>②</sup>は、(1)式中の $\phi_0$ が  $\phi_u < \phi_0 < \phi_{cr}$  の関係を満たし、三軸圧縮では  $\phi_u = \phi_0$ 、平面ひずみでは  $\phi_u = \phi_{cr}$  となるとして、上記の実験結果を説明している。

しかし、ここで指摘すべき点は、このような「中の使い分け」は、あくまで(1)式と不可分に結合した立場から（換言すれば、仕事比最小の原理と結びついた立場から）生ずるという事である。一方、筆者は、釣り合い則のみに依拠したせん断戻構に関する概念を基に、三次元主応力下のS-Dモデルを提案し、そのS-D式が、三軸圧縮・伸張、真の三主応力条件下の実験結果と合致することを示した。本文では、更に、三主応力状態での前報とは異なった応力経路下での実験結果との照合を行うと同時に、平面ひずみ条件下の主応力関係、S-D関係を求め、三軸圧縮時の結果と比較したので報告する。

## 2. 三主応力下でのS-Dプロット

モデルから得られるひずみ増分と応力、応力増分の関係は、次式である。<sup>④⑤</sup>

$$dE_1 \equiv K(\mu + d\bar{F}/\Delta^2 \cdot \bar{F}), \quad dE_2 \equiv K(\mu + d\bar{g}/\Delta^2 \cdot \bar{g}), \quad dE_3 \equiv K(\mu + d\bar{p}/\Delta^2 \cdot \bar{p}) \dots \quad (2)$$

$$\bar{r} = -\sqrt{\sigma' / (\sigma'_1 + \sigma'_2 + \sigma'_3)}, \quad \bar{\theta} = -\sqrt{\sigma'_2 / (\sigma'_1 + \sigma'_2 + \sigma'_3)}, \quad \bar{\rho} = -\sqrt{\sigma'_3 / (\sigma'_1 + \sigma'_2 + \sigma'_3)}. \quad (3)$$

$$d\bar{r} = \left(\frac{1}{2}\right) \left(-\sigma_1' - \sigma_2' - \sigma_3'\right)^{\frac{1}{2}} (-\sigma_1')^{\frac{1}{2}} \left\{ -(\sigma_2' + \sigma_3') d\sigma_1' + \sigma_1' (d\sigma_2' + d\sigma_3') \right\},$$

$$d\bar{g} = \left(\frac{1}{2}\right) \left(-\Omega_1' - \Omega_2' - \Omega_3'\right)^{\frac{1}{2}} \left(-\Omega_3'\right)^{\frac{1}{2}} \left\{ -(\Omega_3' + \Omega_1') d\Omega_2' + \Omega_2' (d\Omega_3' + d\Omega_1') \right\} \quad (1)$$

$$d\bar{P} = \left(\frac{1}{2}\right) \left(-\Omega'_1 - \Omega'_2 - \Omega'_3\right)^{\frac{3}{2}} \left(-\Omega'_3\right)^{\frac{1}{2}} \left\{ -(\Omega'_1 + \Omega'_3) d\Omega'_3 + \Omega'_3 (d\Omega'_1 + d\Omega'_2) \right\} \quad \{ \dots \} \quad (4)$$

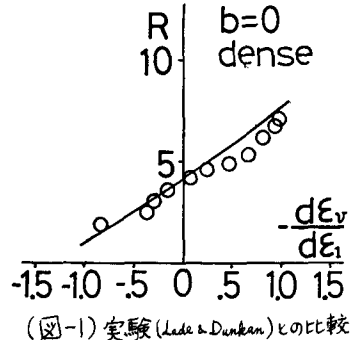
$$\Delta^2 = d\bar{r}^2 + d\bar{\theta}^2 + d\bar{\phi}^2$$

上式で応力、ひずみ共に引張が正である。

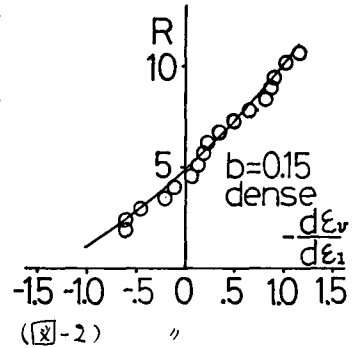
(5)式を(2),(3),(4)式に代入して次式を得る。

$$\frac{dE_r}{dE_1} = \frac{\sqrt{(1+R+f(R))/F(R)} \{ (1+b) \sqrt{R \cdot f(R)} \pm (2b-1) \sqrt{R/f(R)} - (2-b) \sqrt{f(R)/R} \} - 3\mu}{\mu + (2-b) \sqrt{(1+R+f(R))/F(R)} \sqrt{f(R)/R}} \quad \dots (6)$$

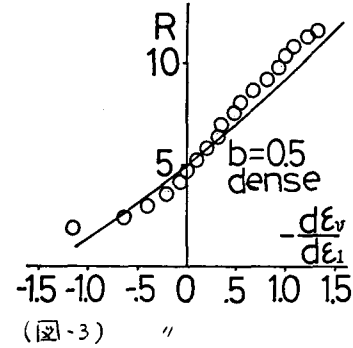
上式で、 $R = \sigma'_b / \sigma_b'$ 、 $\sigma_b(R) = bR + (1-b)$ 、 $F(R) = b(1+b)^2 R^2 + (1-b)(1+b)R + (2-b)^2(1-b)$ 、複号は  $0 \leq b \leq \frac{1}{2}$  で “+”、 $\frac{1}{2} < b \leq 1$  で “-” である。 $(6)$ 式と Lade & Duncan の実験結果 ( $\sigma_b' = 0.6 \text{ kg/cm}^2$ )との対応を図-1～5に示す（式中、 $\phi_m = \tan^{-1}\mu = 36^\circ$  を仮定）。これより、 $(6)$ 式は実験結果と良く合致し、特に、 $b$ の変化に伴う S-D プロットの変化を忠実に捕えていくことが分かる。



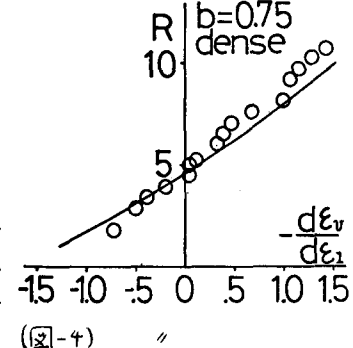
#### (図-1) 実験(Lade & Dunkan)との比較



(-2) //



(図-3) "



(图-4) //

### 3. 平面ひずみ条件下でのストレスーダイラタンシー関係

$$(2) \text{式より } d\epsilon_2 = 0 \text{ とすれば, } \mu \sqrt{\Delta^2} = -\bar{p}/\bar{\gamma} \quad \dots \dots \dots \quad (7)$$

$$\text{一方, } \bar{p} = -\sin \theta \cos \omega, \bar{\gamma} = -\cos \theta, \bar{r} = -\sin \theta \sin \omega \quad (0 < \theta, \omega < \frac{\pi}{2}) \quad (8)$$

$$\text{とおいて(7)式に代入すると, } d\omega = \frac{1}{\tan^2 \theta - \mu^2 / \mu \cdot \sin \theta} \cdot d\theta \quad \dots \dots \dots \quad (9)$$

を得る。更に,  $\tan^2 \theta = x \quad \dots \dots \dots \quad (10)$  とおいて(9)式に代入し積分して次式を得る。

$$w = \frac{1}{2\mu} \ln |2x + 1 - \mu^2 + 2\sqrt{x^2 + (1-\mu^2)x - \mu^2}| - \frac{1}{2} \sin^{-1} \frac{(1-\mu^2)-2\mu^2}{(1+\mu^2)x} + C \quad \dots \dots \dots \quad (11)$$

$$= g(x) + C \quad (C \text{ は積分定数})$$

$$(3)(8) \text{式より, } w = \tan^{-1} \sqrt{\sigma_1/\sigma_3} = \tan^{-1} \sqrt{R}, x = \tan^2 \theta = (\bar{p}^2 + \bar{r}^2)/\bar{\gamma}^2 = \frac{\sigma_1 + \sigma_3}{\sigma_3} \quad (12) \quad (\text{図-5})$$

(12)式を(11)式に代入し, 初期応力条件(平面ひずみ開始時)として,  $R = R_0$ ,  $x = x_0$  とすれば, 次の平面ひずみ条件下の主応力関係式が得られる。 $\tan^{-1} \sqrt{R} - \tan^{-1} \sqrt{R_0} = g(x) - g(x_0) \quad \dots \dots \dots \quad (13)$

(13)式から, 平面ひずみ条件下の主応力関係は, 平面ひずみが開始された時の初期応力条件に依存することが判る。一方, (8)(9)式を(2)(3)(4)式に代入すれば, 平面ひずみ条件下のS-D式は, 次のようになる。

$$D = 1 - \frac{d\epsilon_{vr}}{d\epsilon_1} = \sqrt{R} \cdot \frac{1 - (1+\mu^2)/(1+x)}{1 - (1+\mu^2)/(1+x)} \quad \dots \dots \dots \quad (14)$$

Green & Reades<sup>⑧</sup>, 小田<sup>⑨</sup>は, 等方応力状態から平面ひずみを開始した(従って  $R_0=1$ ,  $x_0=2$ )。この条件下(13)式から  $R-X$  関係を求め, (14)式に代入して  $R-D$  関係が求まる。図-6, 7 に, (14)式と実験結果との対応を示す。両ケース共に  $\phi_u = \tan^{-1} \mu = 29^\circ$  とした。両図より, 三軸圧縮, 平面ひずみ両条件下でも, 同一の  $\phi_u = 29^\circ$  で実験結果とモデルより求めるS-D式とが良く対応しているのが認められる。

### 4.まとめ

以上から, 1)本モデルは, 三次元主応力下, 平面ひずみ条件下のS-D関係を満たすこと, 2)平面ひずみ, 三軸圧縮両条件下のS-Dプロットに対して, 同じ  $\phi_u$  で説明がつくことが示された。

### 5.参考文献

① Rowe, P.W. (1969): "The relation between the shear strength of sands in triaxial comp., plane strain and direct," Geotech. 19, No. 1.

② Barden et al. (1969a): "Plane strain deform. of granular material at low and high pressures," Geotech. 19, No. 4.

③ Barden et al. (1969b): "Elastic and plastic components of the deform. of sand," Canadian Geotech. 6.

④ 徳江 (1975): "粒状体のせん断構造に関する三次元モデル" (10月号)

⑤ 徳江 (1976): "粒状体のせん断構造に関する三次元モデル(103)" #31回

### 土工学会講演集

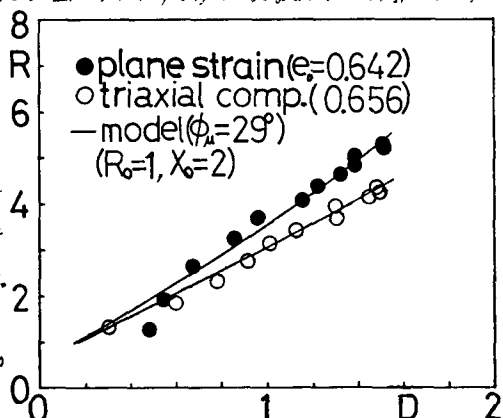
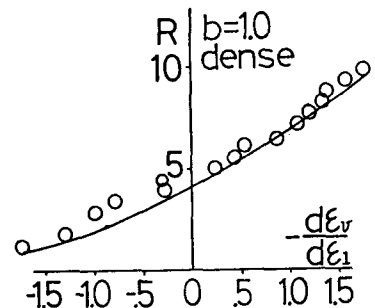
⑥ Tofani, T (1978): "A consideration about Rowe's minimum energy ratio principle and a new concept of shear mechanism," S & M, Vol. 18, No. 1.

⑦ Lade & Duncan (1973): "Cubical triaxial tests on cohesionless soil," ASCE, Vol. 99, No. SM10.

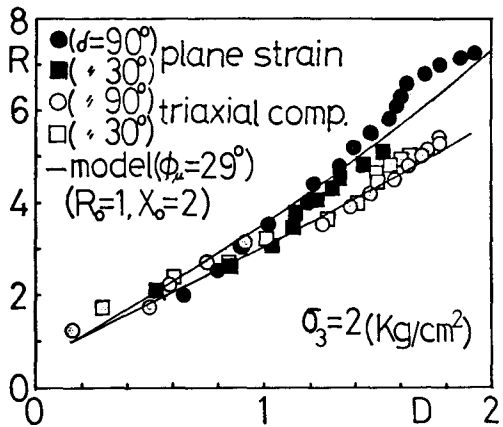
⑧ Green & Reades (1975): "Boundary conditions, anisotropy and sample shape effects on the stress-strain behavior of sand in triaxial compression and plane strain," Geotech. 25, No. 2.

⑨ 小田 (1978): "Experimental study of anisotropic shear strength of sand by plane strain test," S & M, Vol. 18, No. 1.

謝辞: 文献を送って戴いた小田先生に深く感謝します。



(図-6) 実験(Green & Reades)との比較



(図-7) 実験(小田)との比較